



## شناسایی پلیمورف‌های آلومینوسیلیکات ( $\text{Al}_2\text{SiO}_5$ ) با استفاده از طیفسنج **Field Spec®3** در منطقه همدان

کاظم رنگرن<sup>\*</sup>، عادل ساکی<sup>۲</sup>، عظیم صابری<sup>۳</sup>، حسین حسن‌شاھی<sup>۴</sup>

۱. دانشیار دورسنجی کاربردی، گروه سنجش از دور و GIS، دانشگاه شهید چمران اهواز
۲. استادیار پترولوزی، گروه زمین‌شناسی، دانشگاه شهید چمران اهواز
۳. کارشناس ارشد سنجش از دور و GIS، مریبی گروه سنجش از دور و GIS، دانشگاه شهید چمران اهواز
۴. کارشناس ارشد سنجش از دور و GIS، دانشگاه شهید چمران اهواز

تاریخ پذیرش مقاله: ۱۳۹۰/۵/۱۲

تاریخ دریافت مقاله: ۱۳۸۹/۹/۸

### چکیده

مطالعه آلومینوسیلیکاته ( $\text{Al}_2\text{SiO}_5$ ) آندالوزیت، کیانیت و سیلیمانیت، از جنبه‌های اقتصادی و همچنین شرایط تشکیل آنها اهمیت دارد. به منظور مطالعه طیف مربوط به این پلیمورف‌ها، منطقه دگرگونی هاله الوند همدان و رگه‌های سیلیسی دارای این آلومینوسیلیکات‌ها انتخاب شده است. برای نیل به این هدف پس از مطالعات صحرایی و پتروگرافی نمونه‌ها، آنالیز طیفسنجی با دستگاه **Field Spec®3** صورت گرفت و براساس نتایج به دست آمده، به طبقه‌بندی و آنالیز داده‌ها پرداخته شد. بر این اساس، پلیمورف‌های آلومینوسیلیکات با توجه به ترکیب شیمیایی بکسان، دارای باندهای جذبی مشابه‌اند ولی عمق جذبی متفاوتی در محدوده مادون قرمز دارند و ضمناً میزان بازتابندگی (Reflectance) آنها نیز متفاوت است. با توجه به اینکه هر یک از این سه پلیمورف در شرایط خاص دما و فشار به وجود می‌آیند و ساختار فیزیکی خود را دارند، این تفاوت موجود در میزان بازتاب با ساختار فیزیکی این پلیمورف‌ها مستقیماً مرتبط است. در این زمینه، میزان بازتاب سیلیمانیت بیشتر از کیانیت است، و میزان بازتاب کیانیت هم بیشتر از آندالوزیت. همچنین این سه پلیمورف از نظر مقدار عمق جذب در محدوده باندهای جذبی‌شان مورد بررسی قرار گرفتند، که مقدار عمق جذب کیانیت کمتر از سیلیمانیت و آندالوزیت بوده و مقدار عمق جذب سیلیمانیت تنها در ۹۵۰ و ۱۴۰۴ نانومتر کمتر از آندالوزیت بوده است. با توجه به بررسی‌های صورت گرفته، علت وجود هر یک از باندهای جذب در این سه پلیمورف، وجود عناصر و ترکیبات خاص در ترکیب کانی‌شناسی آنها بوده است. در پایان نیز برای بررسی امکان تفکیک اهداف مورد نظر، طیف‌های نماینده با باندهای سنجنده فراتیفی Hyperion و سنجنده چندطیفی Aster شبیه‌سازی شدند.

**کلیدواژه‌ها:** آلومینوسیلیکات، طیفسنجی، شبیه‌سازی، بازتاب طیفی.

\* نویسنده مکاتبه‌کننده: دانشگاه شهید چمران اهواز، دانشکده علوم زمین، گروه سنجش از دور و GIS - تلفن: ۹۱۶۳۱۳۰۷۹۰.

Email: Kazemrangzan@scu.ac.ir

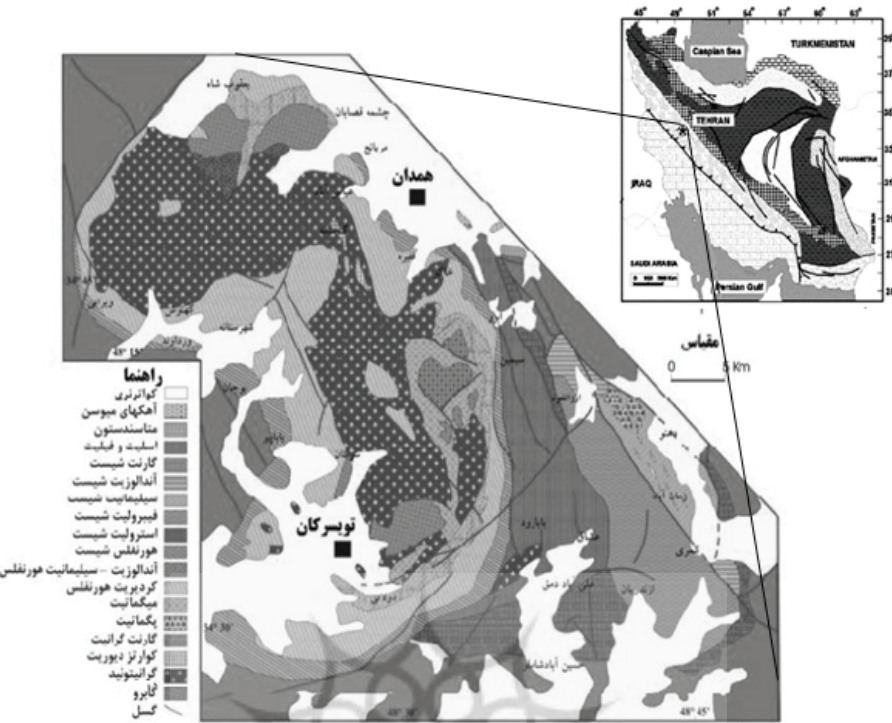
**۱- مقدمه**

هدف از این تحقیق مقایسه سه طیف مربوط به پلی‌مورف‌های آلومینوسیلیکات ( $\text{Al}_2\text{SiO}_5$ ) (در سنگ‌های دگرگونی و رگه‌های سیلیسی منطقه همدان) - شامل آندالوزیت، کیانیت و سیلیمانیت - در شناسایی هر یک از این سه کانی و تأثیر ساختار بلوری بر طیف الکترومغناطیس آنهاست. در این مطالعه تأثیر ترکیب شیمیایی این کانی‌ها و ساختار بلوری آنها بر روی طیف الکترومغناطیس، مقایسه و مطالعه می‌شود. در این تحقیق ابتدا به معرفی پلی‌مورف‌های آلومینوسیلیکات پرداخته می‌شود و ویژگی‌ها و ترکیبات شیمیایی این سه پلی‌مورف بررسی می‌گردد و در ادامه طیف سه کانی مورد نظر با استفاده از دستگاه طیف‌سنجد Spec®3 Field برداشته و به تفسیر ویژگی‌های طیفی‌شان پرداخته می‌شود.

**۲- مواد و روش‌ها**

**۲-۱- موقعیت جغرافیایی و زمین‌شناسی منطقه مورد مطالعه**  
منطقه مورد مطالعه بخشی از نوار دگرگونی موسوم به زون سنندج - سیرجان (واقع در کمربند کوه‌زایی زاگرس)، است که به صورت نوار طویلی در امتداد و به موازات رواندگی زاگرس، از ارومیه و سنندج در شمال غربی کشور تا سیرجان و اسفندقه در جنوب شرقی ایران، گسترش دارد. زون سنندج - سیرجان جزئی از کوه‌زاد زاگرس (شکل ۱ الف) و زون زاگرس فلسفه‌مانند است (Mohajjel et al., 2004). بطبق نظر Alavi, 2004 (2003) منطقه مورد مطالعه احتمالاً در زیرپهنه با دگرشکلی پیچیده قرار دارد که شامل سنگ‌های آذرین و دگرگونی است. سنگ‌ها و واحدهای رسوبی منطقه در طی بسته شدن اقیانوس نئوتیس و برخورد قاره اوراسیا و گندوانا تحت تأثیر فعالیت‌های موجود در حاشیه قاره دچار دگرگونی شده‌اند. افزایش فشار و گرما در منطقه باعث رخداد نوعی دگرگونی دیناموترمال در منطقه شده است که سنگ‌های دگرگونی ناحیه‌ای را ایجاد کرده‌اند. ادامه روند برخورد قاره‌ای و تکامل فرایند کوه‌زایی باعث شروع فعالیت‌های پلوتونیسم و ایجاد باتولیت‌الوند شده است (شکل ۱ الف).

به‌منظور شناسایی و تفکیک پدیده‌ها در داده‌های سنجش از دور، درک صحیح از چگونگی رفتار پدیده‌های مختلف در طول موج‌های متفاوت در طیف‌سنجدی بازتابی، می‌تواند به عنوان ابزاری سودمند مورد استفاده قرار گیرد. تحقیقات زیادی در زمینه طیف‌سنجدی، به‌منظور ثبت پدیده‌های مختلف در طول موج‌های محدوده مرئی مادون قرمز و به خصوص سنگ‌ها و کانی‌ها و آنالیز دقیق این طیف‌ها - که نماینده منحصر به فرد اشیا و پدیده‌های مختلف‌اند - صورت گرفته است. این تحقیقات زمینه لازم را فراهم ساختند تا با استفاده از این اطلاعات طیف‌سنجدی زمینی و داده‌های سنجش از دور (تصاویر ماهواره‌ای و هوایی)، بتوان به شناسایی و اکتشاف بعدی پدیده‌های مختلف پرداخت، از آن جمله‌اند تحقیقات انجام شده Salvi et al. (1985) Kruse et al. (1999) Clark et al. (2001). برخی از این افراد با تشکیل کتابخانه طیفی، نتایج و داده‌های حاصل از طیف‌سنجدی‌شان را برای به‌کارگیری در مطالعات دورسنجی در معرض استفاده عموم قرار داده‌اند (مانند کتابخانه طیفی سازمان زمین‌شناسی امریکا در <http://speclab.cr.usgs.gov/>). اصول استفاده شده در تحقیق حاضر براساس کار Hasanshahi, et al. (2001) Longhi et al. (2001) و تحقیقاتی (2010) صورت گرفته است. در این تحقیقات با جمع‌آوری و طیف‌سنجدی نمونه سنگ‌های منطقه مورد مطالعه و طبقه‌بندی طیفی و بررسی الگوهای جذبی آنها، امکان آشکارسازی و تفکیک سنگ‌ها با استفاده از سنجنده‌های فراتطبیفی (Hyper Spectral) و چندطبیفی (Multi Spectral) شبیه‌سازی گردید. سرانجام چنین نتیجه‌گیری شد که داده‌های با قدرت تفکیک طیفی بالا قابلیت بسیار خوبی در تفکیک سنگ‌های منطقه مورد مطالعه دارند. در ادامه نیز از داده‌های بانک اطلاعاتی موجود در سایت USGS، که حاصل کارهای Clark et al. (2003) است استفاده گردید. در بانک اطلاعاتی مذکور طیف کانی‌ها و سنگ‌های مختلف با شرحی از ویژگی‌ها یا خصوصیات آنها درج شده است.



شکل ۱. موقعیت زون سنتندج - سیرجان و منطقه مورد مطالعه و نقشه زمین‌شناسی کمپلکس الوند و هاله دگرگونی اطراف آن (Baharif far, 2004). سنگ‌های کالک - سیلیکات در قسمت شمال شرقی توده الوند رخنمون دارد.

پالئوزوئیک تا اوایل ژوراسیک، قدیمی‌ترین تشکیلات زمین‌شناسی منطقه را تشکیل داده‌اند که اغلب شامل اسلیت، فیلیت و بلیتید شیست هستند. دگرگونی ناحیه‌ای همدان، از نوع دما و فشار متوسط، تیپ بارووین (کیانیت - سیلیمانیت) است (Sadeghian, 1994). بهاری فر نوع دگرگونی ناحیه‌ای سنگ‌های منطقه همدان را فشار پایین - دمای بالا و مربوط به قوسی ماقمایی می‌داند (Baharifar, 2004).

**سنگ‌های دگرگونی مجاورتی:** این سنگ‌ها شامل انواع شیستهای لکه‌دار و هورنفلس‌هاست که در اطراف توده نفوذی الوند قرار دارند. هورنفلس شیست‌ها و هورنفلس‌ها بسیار متنوع‌اند و از تأثیر دگرگونی مجاورتی بر سنگ‌های دگرگونی ناحیه‌ای حاصل شده‌اند. این سنگ‌ها در نتیجه تأثیر حرارتی توده‌های بازیک و اسیدی بر روی سنگ‌های قدیمی‌تر به وجود آمده‌اند. بهاری فر و سپاهی حداقل فشار برای تشکیل سنگ‌های سیلیکات آلومینین دار را در حدود ۴ کیلوبار،

انتشار گرمای ماگما سبب گردیده است که سنگ‌های دگرگونی پیشین دچار تغییر و تحول شوند و سنگ‌های دگرگونی مجاورتی در منطقه تشکیل گردند.

**۲-۲- سنگ‌شناسی منطقه مورد مطالعه**  
به طور کلی سه دسته اصلی سنگ در منطقه همدان وجود دارد. سنگ‌های آذرین این مجموعه شامل سنگ‌های مافیک (گابرو، الیوین گابرو، گابرونوریت، دولریت)، حد واسط (دیوریت، کوارتز دیوریت، میکرودیوریت)، فلسیک (گرانیت‌ها، گرانو دیوریت، تونالیت، پگماتیت و آپلیت) و تعدادی دایک‌های دولریتی و کوارتز دولریتی است که سن آنها به ترتیب از ۱۸۰ تا ۶۰ میلیون سال قبل در نظر گرفته شده است (Sepahi, 1999).

سنگ‌های مجموعه دگرگونی همدان در مراحل مختلف دگرگونی ناحیه‌ای و مجاورتی تشکیل شده‌اند. **سنگ‌های دگرگونی ناحیه‌ای:** این سنگ‌ها به سن

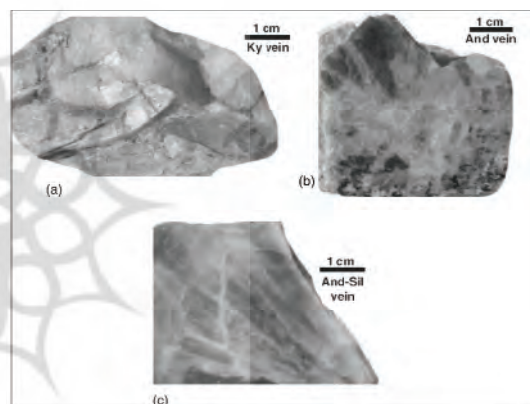
### ۳-۲- اندازه‌گیری داده‌های طیفی

پس از انتقال نمونه‌های جمع‌آوری شده از عملیات صحرایی به آزمایشگاه سنگ‌شناسی و طیفسنجی گروه سنجش از دور دانشگاه شهید چمران اهواز، مقاطع نازک نمونه‌ها مورد مطالعه قرار گرفت. همچنین نمونه‌های درشت در حد چند سانتی‌متر از سه پلی‌مورف آندالوزیت و کیانیت و سلیمانیت، پس از آماده‌سازی تحت آتالیز طیفسنجی با استفاده از دستگاه Field Spec®3 قرار گرفتند.

با زتابندگی نمونه پلی‌مورف‌های ذکر شده (آنالوزیت، کیانیت و سلیمانیت) در محدوده طیفی مادون قرمز کوتاه (طول موج‌های ۳۵۰ تا ۲۵۰۰ نانومتر و فاصله طول موج ۱۰ نانومتر) با استفاده از دستگاه طیفسنج Field Spec®3 و نرمافزار RS<sup>3</sup> و دستگاه Contact Probe در محیط آزمایشگاهی اندازه‌گیری و ثبت گردید.

یک منبع نور ثابت دارد که به وسیله پایه‌ای به کابل نوری اسپکترودیومتر متصل می‌شود. منبع نورانی Contact Probe در زاویه ۲۳ درجه نسبت به بدنه Probe تنظیم شده است و با این زاویه روشنایی ثابت، از مشکلات مختلف روشنایی ناشی از توبوگرافی سطحی جلوگیری می‌کند و امکان اجرای این عمل (طیفسنجی) را در همه ساعات روز فراهم می‌سازد (Painter et al., 2007) (شکل ۳).

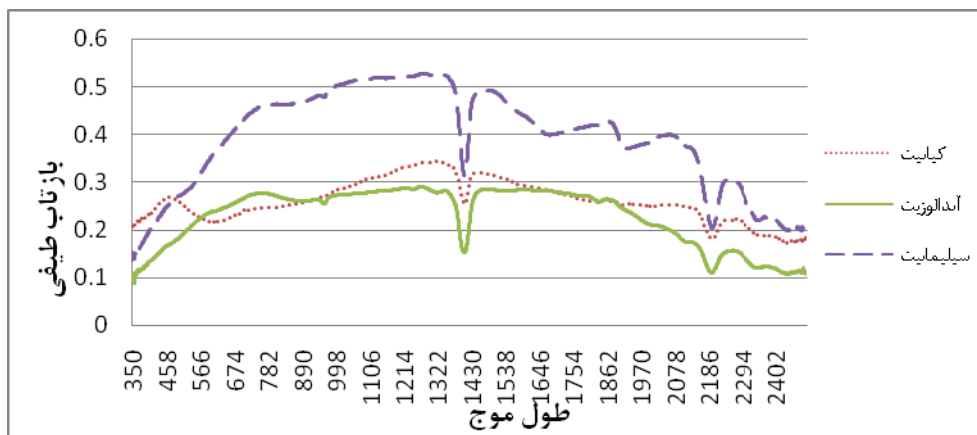
دما را در حدود ۶۰۶ درجه سانتی‌گراد، و متوسط گرادیان زمین‌گرمایی را در منطقه حدود ۴۹ درجه سانتی‌گراد بر کیلومتر برآورد کرده‌اند (Baharifar, 2004). کانی‌های آندالوزیت، کیانیت و سلیمانیت به وفور در سنگ‌های دگرگونی منطقه همدان دیده می‌شوند. این کانی‌ها هم در شیسته‌ها و هورنفلس‌های مجاور باتولیت الوند و هم در رگه‌های کوارتزی وجود دارند. این سه پلی‌مورف در منطقه همدان به صورت‌های مختلفی دیده می‌شوند؛ و مثلاً در برخی از سنگ‌ها هر کدام به تنها‌یابی به چشم می‌خورند و در برخی دیگر ممکن است دو یا هر سه پلی‌مورف با هم مشاهده شوند (شکل ۲).



شکل ۲. کانی‌های کیانیت Ky، آندالوزیت And و سلیمانیت Sil در مقیاس نمونه دستی در رگه‌های کوارتزی منطقه همدان



شکل ۳. دستگاه فیلداسپک ۳ (سمت راست) و ابزار تکمیلی Contact probe (سمت چپ)  
ابزار طیفسنجی موجود در گروه سنجش از دور و GIS دانشگاه شهید چمران اهواز)



شکل ۴. مقایسه طیف کانی‌های آلمینوسیلیکات (آندالوزیت، کیانیت و سیلیمانیت) با استفاده از دستگاه طیفسنج Field Spec®3 در محیط آزمایشگاه

- ۱- محل طول موج کمترین میزان بازتاب در باندهای جذبی؛
- ۲- عمق، عرض، مساحت و عدم تقارن باندهای جذبی؛ و
- ۳- محل تغییرات شیب و نقاط پرش در منحنی پارامترهای مذکور به عنوان «ساختارهای جذب» در نظر گرفته می‌شوند.

ساختارهای جذبی مشخص و یا گروههایی از این ساختارها که به طور سیستماتیک در طیفها اتفاق می‌افتد، در اینجا الگوهای جذب نامیده می‌شوند. این الگوها ممکن است از یک باند جذب تشکیل شده باشد (مانند FE) و یا اغلب اوقات از گروههایی از باندها - و هر کدام از آنها مختص محل و عمق خود - تشکیل شوند (مانند HF) (شکل ۵). اهمیت و کشف این الگوها براساس مطالعات طیفسنجی صورت گرفته روی کانی‌ها و تلفیق این مطالعات با آنالیزهای پتروگرافی و شیمیایی بنا شده است. در نتیجه هر الگو به فرایند فیزیکی خاص در یون، مولکول، یا گروه عناصر در کانی‌های مشخص مربوط می‌شود. جدول ۱ فرایندهای مولکولی و الکترونی را که عامل الگوهای جذب مشاهده شده در طیفهای سنگ‌ها در محدوده بازتاب بهشمار می‌آیند، به اختصار ارائه می‌کند (Longhi et al., 2001).

بهمنظور طیفسنجی دقیق نمونه‌ها، سعی گردید تا از نمونه‌های هوازده و حتی‌الامکان بدون حضور سنگ میزبان (نمونه‌های خالص) استفاده گردد. این موضوع (تشابه و خلوص نمونه‌ها) زمانی اهمیت می‌یابد که از این طیف‌های برداشت شده بهمنظور شبیه‌سازی داده‌های سنجنده‌های ماهواره‌ای برای پی‌جويی و اکتشاف مواد معدنی استفاده شود.

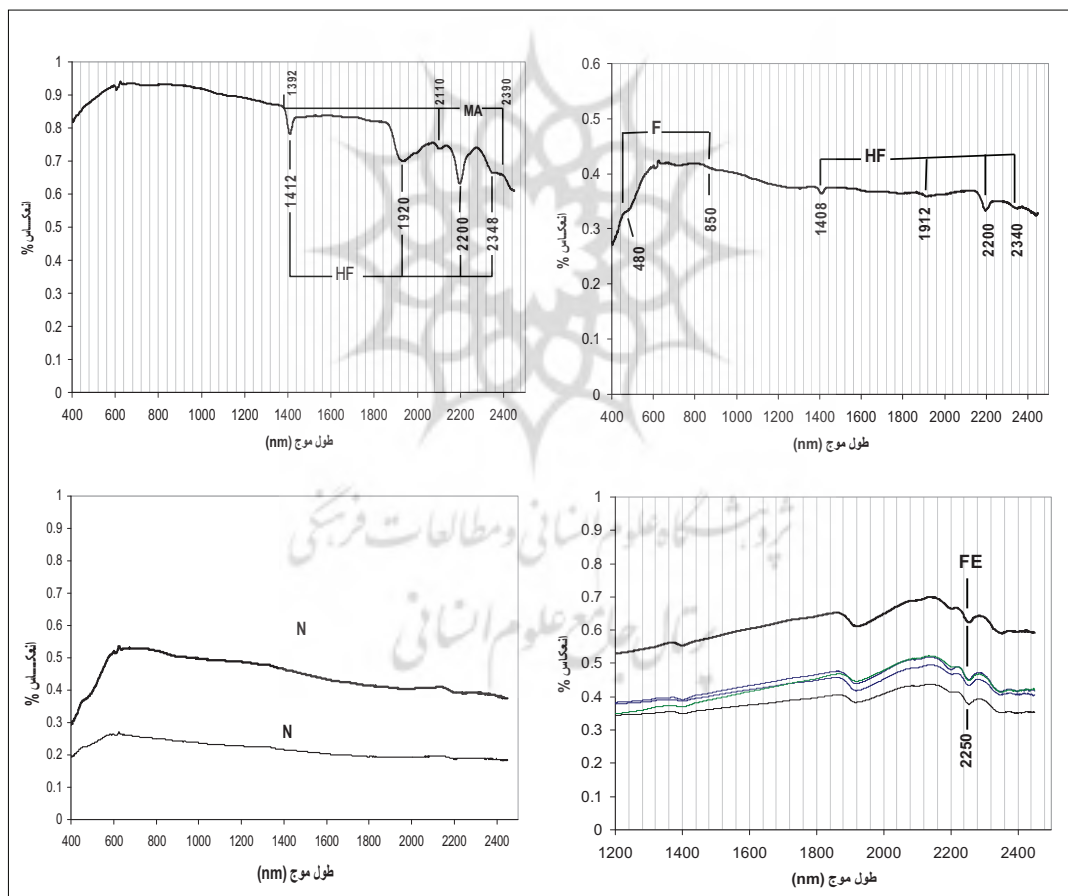
عدم پیوستگی در طیف‌ها به خاطر نویز حاصل از گذار از آشکارگرهای بخش VNIR به SWIR1 و SWIR2 در طول موج‌های ۱۰۰۰ و ۱۸۰۰ نانومتر اتفاق افتاد که به‌وسیله نرمافزار SAMS نسخه ۳، ۲ اصلاح شد. برای پردازش، مقایسه سریع و تبدیل طیف‌ها از نرمافزار View Spec Pro نسخه ۵ استفاده شد. نرمافزار 2007 Excel و همچنین SAMS برای محاسبات آماری طیف‌ها به کار رفته (شکل ۴).

- ### ۳- بحث و نتیجه‌گیری
- ۱- آنالیز و طبقه‌بندی طیف پلیمورف‌های آلمینوسیلیکات
- مطابق تحقیقات (Grove et al., 1992)، تحلیل و توصیف منحنی‌های طیفی براساس این پارامترها صورت می‌گیرد:

استفاده از طیف الکترومغناطیسی ای که از این کانی‌ها یا سنگ‌ها برداشته می‌شود می‌توان تا حدودی به ماهیت شیمیایی شان پی برد.

الگوهای جذب معمولاً با هم ترکیب می‌شوند تا ویژگی‌ها و مشخصه‌های گروه‌های نمونه را با دقت و تفکیک ارائه دهند. در آنالیز و بررسی نمودارها از این ترکیبات با عنوان گونه‌های طیفی یا الگوهای طیفی نهایی یاد می‌شود.

همچنین در جدول ۱ تفسیر هر یک از الگوهای جذب نشان داده شده است. این جدول براساس تحقیقات (Longhi et al., 2001) تهیه شده و برای گونه‌های متفاوت سنگی، دارای میزان مشخصی است. این الگوهای جذبی، با ترکیب شیمیایی موجود در سنگ‌ها و کانی‌های متفاوت در ارتباط مستقیم است. درواقع کانی‌ها و سنگ‌های مختلف با توجه به ترکیب شیمیایی موجود در آنها، دارای باندهای جذبی در محدوده‌های معرفی شده در جدول ۱ هستند و با



شکل ۵. نمونه‌هایی از الگوهای جذبی مشخص و مشاهده شده در طیف‌های انعکاسی سنگ‌ها (Longhi et al., 2001).

جدول ۱. الگوهای جذب طیفی و فرایندهای فعل و انفعالی در طول موج‌های مرئی - مادون قرمز کوتاه

الگوی جذب	طول موج‌های جذبی	فرایندهای فعل و انفعالی مؤثر بر روی طول موج‌های جذبی
F	-۴۲۰/۴۳۰-۴۸۰/۵۰۰-۶۸۰/۶۵۰ ۸۵۰/۱۲۰۰	تأثیرات میدان بلور $\text{Fe}^{+3}/\text{Fe}^{+2}$ در اکسیدها و هیدروکسیدها
HF	۱۹۱۲-۱۴۰۸-۲۲۰۰-۲۳۴۰-۲۴۳۲	ارتعاش $\text{H}_2\text{O}$ و $\text{OH}^-$ در فلدسپات‌ها
MA	۲۳۰۸-۲۳۸۸-۱۳۹۲-۲۱۱۶-(۲۴۶۸)	ارتعاش $\text{Mg-OH}$ در آمفیبول‌ها
FE	۲۲۵۰	ارتعاش $\text{FE-OH}$ در اپیدوت‌ها، بیپویت، تورمالین، کلرایت و فلوگرپیت
N		طیف صاف و تقریباً بدون جذب
AM	-۲۴۲۸-۲۲۴۴-۱۴۰۴-۲۲۰۰ (۱۹۰۴)-۲۱۲۰	ارتعاش $\text{Al-OH}$ و $\text{OH}^-$ در مسکویت

منبع: Longhi et al., 2001

جذبی در محدوده‌هایی بین ۸۵۰ تا ۱۲۰۰ نانومتر، در نزدیکی ۱۴۰۴، ۱۹۰۴، ۲۲۰۰ و ۲۳۴۴ نانومتر هستند (در این تحقیق به باندهای جذبی در محدوده ۸۵۰ تا ۲۵۰۰ نانومتر پرداخته شده است). برای این اساس تأثیرات نسبت  $\text{Fe}^{+3}/\text{Fe}^{+2}$  در اکسیدها و هیدروکسیدها باعث به وجود آمدن باند جذبی در محدوده ۸۵۰ تا ۱۲۰۰ نانومتر می‌گردد؛ که در پلیمورف‌های آلمینوسیلیکات مطالعه شده، این باند جذب در ۹۵۰ نانومتر مشاهده گردید. همچنین جذب موجود در ۱۴۰۴ و ۲۲۰۰ نانومتر به علت یون  $\text{OH}^-$  موجود در ساختار پلیمورف‌های سیلیکات (جذب شده، تبدیل آلمینوسیلیکات‌ها به مونتموریونیت و کائولینیت) موجود در ساختار شیمیایی این ترکیبات است. البته باند جذبی در محدوده ۲۲۰۰ نانومتر احتمالاً به سبب ترکیب  $\text{Al-OH}$  در ساختمان بلوری این سه پلیمورف است؛ و در نهایت باند جذبی ۲۳۴۴ و ۲۴۲۸ نانومتر نیز بر اثر ارتعاشات  $\text{H}_2\text{O}$  و  $\text{OH}^-$  موجود در ساختار شیمیایی پلیمورف است (Clark et al., 2003).

(شکل ۶).

Longhi et al. (2001) و همچنین از اطلاعات و آمار موجود در بانک اطلاعاتی USGS Clark et al. (2003) ارائه کردند، استفاده شده است.

ساختارهای جذب در طیف نمونه پلیمورف‌ها، به وسیله نرمافزار SAMS نسخه ۳/۲ مورد بررسی و آنالیز قرار گرفت. در ابتدای کار سعی گردید تا با استفاده از این نرمافزار، عدم پیوستگی در طیف‌ها، که به خاطر نویز حاصل از گذار از آشکارگرهای بخش VNIR و SWIR2 در طول موج‌های ۱۰۰۰ و ۱۸۰۰ نانومتر رخ می‌دهد، برطرف گردد. در ادامه از Sepahi et al. (2004) به صورت آنالیز نقطه‌ای، در مایکروپریوب تجزیه شیمیایی کرده‌اند، استفاده گردید که ترکیبات شیمیایی آنها در جدول ۲ درج شده است.

سپس به بررسی طیف این سه پلیمورف از نظر باندهای جذبی و میزان کلی بازتاب آنها پرداخته شد تا با استفاده از ویژگی‌های مورد بحث معیارهایی به منظور شناسایی و تمایز هر یک از این سه پلیمورف معرفی گردد. در بررسی‌های صورت‌گرفته بر روی طیف، این نتیجه به دست آمد که هر سه پلیمورف دارای باندهای

کاظم رنگز و همکاران

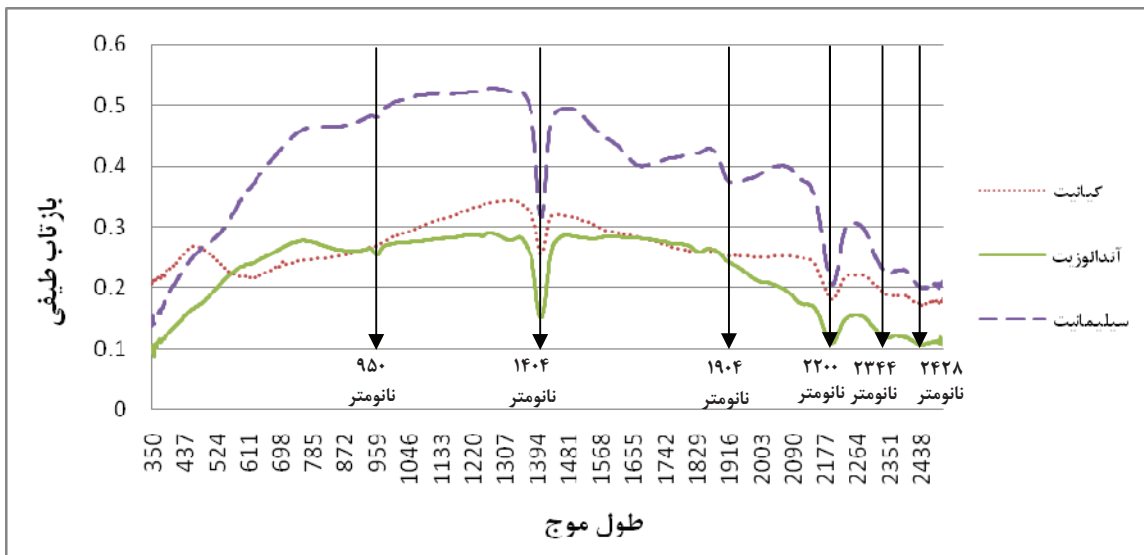
جدول ۲. نتایج حاصل از تجزیه مایکروپروب آلومینوسیلیکات‌های منطقه همدان

	Schist ASVH		ASKV		vein	schist	vein	vein
	And	And	Sil	Ky	KSV Ky	KSVH Ky	KV Ky	SV Sil
SiO <sub>2</sub>	۳۷/۱۲	۳۷/۷۳	۳۶/۹۲	۳۷/۷۴	۳۷/۰۲	۳۷/۰۶	۳۷/۲۲	۳۶/۴۷
TiO <sub>2</sub>	۰/۰۱	۰/۰۱	----	----	۰/۰۶	----	----	----
Al <sub>2</sub> O <sub>3</sub>	۶۳/۰۳	۶۲/۳۶	۶۲/۹۷	۶۲/۱۸	۶۳/۴۷	۶۳/۰۲	۶۲/۸۸	۶۲/۸۲
Fe <sub>2</sub> O <sub>3</sub>	۰/۲۴	۰/۴۴	۰/۱۵	۰/۱۵	۰/۱۰	۰/۱۸	۰/۲۵	۰/۱۶
MnO	----	۰/۰۴	۰/۰۲	۰/۰۲	----	----	۰/۰۶	----
MgO	۰/۰۳	۰/۰۲	۰/۰۱	----	----	----	۰/۰۲	----
Cr <sub>2</sub> O <sub>3</sub>	۰/۰۸	۰/۰۲	۰/۰۱	۰/۰۳	----	۰/۰۳	۰/۰۸	۰/۰۳
Total	۱۰۰/۵۲	۱۰۰/۶۱	۱۰۰/۰۸	۱۰۰/۱۲	۱۰۰/۶۵	۱۰۰/۳۰	۱۰۰/۵۱	۹۹/۴۹
Mol%Fe	۰/۱۶	۰/۳۰	۰/۱۰	۰/۱۱	۰/۰۷	۰/۱۲	۰/۱۷	۰/۱۱

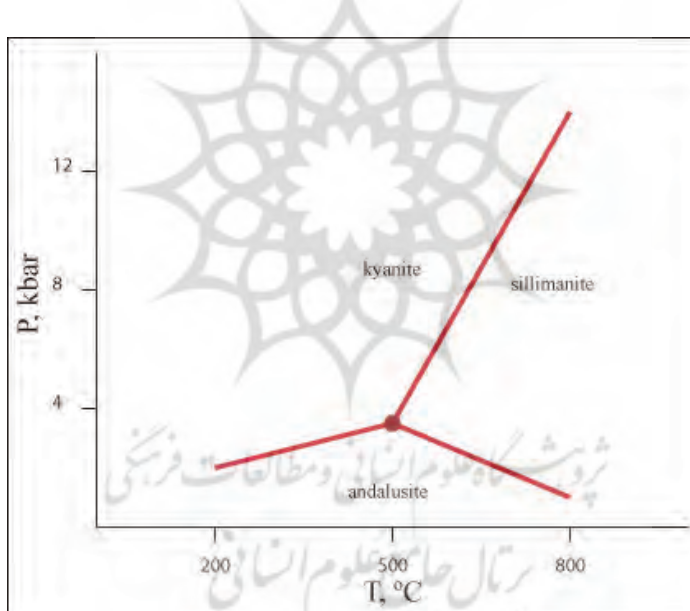
	And schist	And Vein	And Vein	And vien/margin AV2		And-Sil vein ASV		And-Sil Schist ASVH
	AVH And	AV1 And- white	AV1 And- pink	And Core	And rim	And	Sil**	Sil**
SiO <sub>2</sub>	۳۶/۹۳	۳۷/۰۹	۳۷/۲۳	۳۶/۵۴	۳۷/۳۶	۳۶/۷۰	۳۷/۰۹	۳۶/۸۵
TiO <sub>2</sub>	----	----	۰/۰۱	۰/۰۴	۰/۰۱	۰/۰۸	۰/۰۱	----
Al <sub>2</sub> O <sub>3</sub>	۶۳/۱۱	۶۳/۱۸	۶۳/۳۱	۶۲/۰۶	۶۳/۴۸	۶۳/۱۳	۶۳/۵۶	۶۲/۸۲
Fe <sub>2</sub> O <sub>3</sub>	۰/۱۵	۰/۱۳	۰/۲۲	۰/۷۳	۰/۲۰	۰/۵۵	۰/۱۱	۰/۱۰
MnO	----	----	----	۰/۰۱	----	----	----	----
MgO	۰/۰۳	۰/۰۲	۰/۰۳	۰/۱۷	۰/۰۲	۰/۱۱	----	۰/۰۲
Cr <sub>2</sub> O <sub>3</sub>	۰/۰۷	----	----	۰/۰۸	----	۰/۰۵	۰/۰۷	۰/۰۵
Total	۱۰۰/۲۸	۱۰۰/۴۳	۱۰۰/۷۹	۹۹/۶۳	۱۰۱/۰۸	۱۰۰/۶۲	۱۰۰/۸۳	۹۹/۸۵
Mol%Fe	۰/۰۱	۰/۰۹	۰/۱۵	۰/۵۰	۰/۱۴	۰/۳۷	۰/۰۷	۰/۰۷

منبع: Sepahi et al., 2004

شناسایی پلیمورف‌های آلومینوسیلیکات ( $\text{Al}_2\text{SiO}_5$ ) با استفاده از طیفسنجه Field Spec®3 در منطقه همدان



شکل ۶. مقایسه باندهای جذبی طیف سه پلیمورف آلومینوسیلیکات و میزان بازتاب کلی هر یک از آنها



شکل ۷. نمودار حرارت - فشار (P-T) که شرایط متفاوت را برای تشکیل سه کانی کیانیت، سیلیمانیت و آندالوزیت نشان می‌دهد.

کیانیت در فشار بالا، آندالوزیت در فشار کم و سیلیمانیت در دمای بالا پایدار است (Spear, 1993)

شناسایی ترکیب شیمیایی هر یک از این سه کانی، این نتیجه به دست آمد که باندهای جذبی موجود در ساختار این طیف‌ها مستقیماً با ترکیبات شیمیایی آنها ارتباط دارند و تنها اختلاف عمدی در این سه پلیمورف، میزان بازتاب این ترکیبات است. این اختلاف، به میزان بازتاب مربوط به ساختار فیزیکی این سه پلیمورف

با توجه به الگوهای جذب، مشخص گردید که این طیف‌ها از الگوی طیفی AM و F - که در جدول ۱ به آن اشاره گردید - پیروی می‌کند و اینها در محدوده‌های مشترکی دارای جذبی یکسان‌اند. و از لحاظ روند کلی نیز طیف‌ها همبستگی بالایی دارند. با توجه به آنالیز شیمیایی نمونه‌های آزمایش شده و

شکل ۸ نمایش داده شده است، ابتدا طول موجی را که در بازه های معین شده حداکثر انعکاس در آنها اتفاق می افتد مشخص می سازد (wp) در [b,c] و wq در [d,e]، و سرانجام میزان جذب را با استفاده از معادله ای که در پی می آید، محاسبه می کند (Longhi et al., 2001):

### فرمول ۱:

$$\text{مساحت زیر پاره خطی} = \frac{1}{2} (W_p + W_q)$$

$$A_i = \frac{1}{2} [W_p + W_q]$$

$$W_p \text{ حداکثر بازتاب در بازه } [b,c]$$

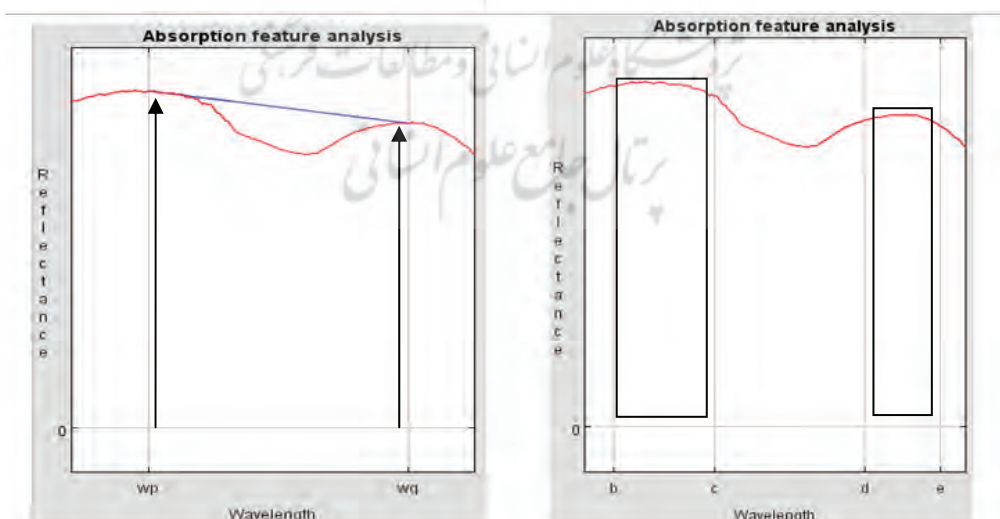
$$W_q \text{ حداکثر بازتاب در بازه } [d,e]$$

بدین منظور طیف پلی مورف های برداشت شده به محیط نرم افزار انتقال داده شد و سپس این آنالیز بر روی آنها در محدوده هایی که دارای باند جذبی اند، اعمال گردید. همان طور که در جدول ۳ نشان داده است، مقدار جذب در این سه پلی مورف متفاوت است و در شناسایی و تمایز این سه پلی مورف مورد استفاده قرار می گیرد.

بازمی گردد. همان طور که در شکل ۷ دیده می شود، هر یک از این سه پلی مورف آلمینوسیلیکات در شرایط فشار و دمای خاصی به وجود آمده و دارای ساختار بلوری مربوط و خاص خود است؛ هر چند که از نظر ترکیب شیمیایی اینها تقریباً مشابه اند.

میزان بازتاب کلی طیفها از حداقل صفر درصد و حداکثر ۱۰۰ درصد بازتاب برای هر یک از پلی مورف ها محاسبه گردید. همان گونه که در شکل ۵ نشان داده است، میزان بازتاب آندالوزیت کمترین مقدار را دارد و میزان میانگین آن  $0.23115$  است. بعد از آندالوزیت میزان بازتاب کیانیت است که میانگین بازتاب آن از آندالوزیت بیشتر است و از سیلیمانیت کمتر و در حدود  $0.26663$  است، در نهایت بازتاب سیلیمانیت دارای بیشترین میزان بازتاب طیفی در این سه پلی مورف به میزان  $0.4086$  است.

از دیگر کارهای صورت گرفته در این تحقیق، آنالیز اشکال جذب است که به وسیله نرم افزار SAMS صورت گرفت. با استفاده از الگوریتم آنالیز اشکال جذب در نرم افزار SAMS، میزان جذب در طول موج خاصی در یک طیف محاسبه می شود. این الگوریتم با مشخص بودن دو بازه طول موج [b,c] و [d,e]، همان طور که در



شکل ۸. نحوه محاسبه میزان جذب طیفی در نواحی دارای جذب الکترومغناطیس

منبع: Carlos et al., 2003

جدول ۳. نمایش مقدار جذب ( $A$ ) در محدوده‌های جذبی طیف سه پلیمورف آلمینوسیلیکات

نام	طول موج جذب	۹۵۰ نانومتر	۱۴۰۴ نانومتر	۱۹۰۴ نانومتر	۲۲۰۰ نانومتر	۲۳۴۴ نانومتر	۲۴۲۸ نانومتر
کیانیت	۰/۰۰۲۶۸	۰/۰۶۰۱۶	۰/۰۱۳۳۰	۰/۰۸۱۰۷	۰/۰۰۹۳۳	۰/۰۲۳۷۹	
سیلیمانیت	۰/۰۰۵۹۶	۰/۱۰۰۵۲	۰/۰۵۶۸۴	۰/۱۴۳۶۸	۰/۰۴۳۴۸	۰/۰۴۰۳۱	
آندالوزیت	۰/۰۱۵۲۵	۰/۱۵۱۴۷	۰/۰۱۰۷۴	۰/۱۱۶۰۲	۰/۰۳۵۰۱	۰/۰۳۷۱۸	

الگوهای طیفی اصلی که در این مطالعه مشخص شد در تصاویر فراتیفی و چندطیفی ارزیابی شود. شکل ۶ نمودارهای طیفی سه پلیمورف آلمینوسیلیکات را Field Spec®3 نشان می‌دهد که به وسیله طیفسنچی Aster و Hyperion با فواصل باندی ۱ نانومتر برداشته شده است. شکل‌های ۹ و ۱۰ قابلیت سنجنده Hyperion و Aster را در بارزسازی الگوهای جذبی غالب چند نوع سنگ مشخص می‌سازد. همان‌گونه که در منحنی طیفی مشخص شده است، الگوی جذبی مربوط به این سه پلیمورف، بر روی داده‌های سنجنده‌های فراتیفی و چندطیفی نیز قابل مشاهده است.

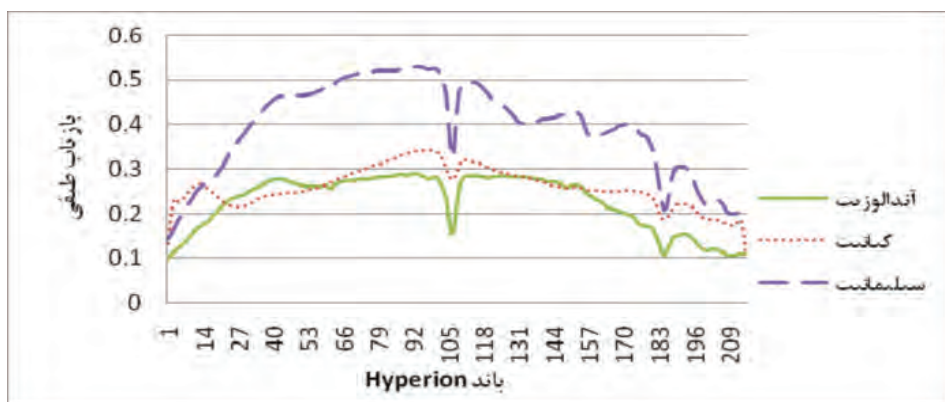
در شکل ۸ که به شبیه‌سازی طیف این سه پلیمورف به سنجنده Hyperion مربوط می‌شود، طول موج‌های جذب، الگوی مرتبط را در ۱۴۰۴، ۹۵۰، ۲۲۰۰ و ۲۴۲۸ نانومتر نشان می‌دهند.

همان‌گونه که مشخص است، باندهای جذبی این سه پلیمورف به وضوح نسبتاً زیادی بر روی طیف شبیه‌سازی شده سنجنده Hyperion نشان داده می‌شوند؛ در حالی که باندهای جذبی این سه پلیمورف بر روی طیف شبیه‌سازی شده از تصویر Aster به صورت نامفهوم نمایان می‌گردد، و این خود به علت عریض بودن باندهای سنجنده Aster در برابر Hyperion و Field Spec®3 است. همچنین طیفسنچ

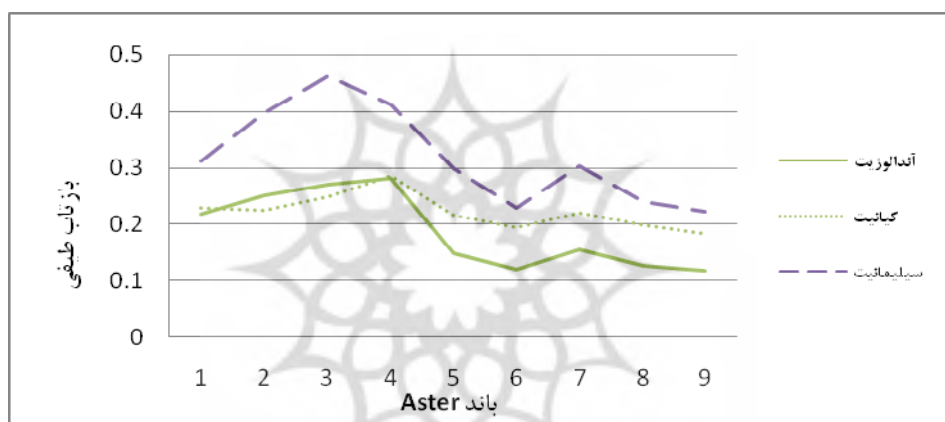
همان‌طور که در جدول ۳ مشاهده می‌گردد، در همه طول موج‌های جذبی این سه پلیمورف، مقدار جذب سیلیمانیت و آندالوزیت بیشتر از کیانیت است. همچنین در مقایسه دو پلیمورف سیلیمانیت و آندالوزیت، تنها در دو محدوده ۹۵۰ و ۱۴۰۸ نانومتر، مقدار جذب آندالوزیت بیشتر است.

### ۳-۲-۳- ارتباط بین الگوهای طیفی و شبیه‌سازی طیف‌ها براساس باندهای سنجنده‌های فراتیفی و چندطیفی

طبقه‌بندی سنگ‌ها براساس الگوهای طیفی، ویژگی‌های طیفی غالب در یک نوع سنگ یا گروهی از سنگ‌ها را مشخص می‌کند. چنانیں تقسیم‌بندی طیفی ای با طبیعت سنجنده‌های سنجش از دوری سازگاری دارد و می‌تواند با پیش‌بینی واکنش آشکارگرها طیفسنچی، اساس امکان سنجی تفکیک در پردازش داده‌های سنجش از دور قرار گیرد (Longhi et al., 2001). برای دستیابی به این مقصود، داده‌های طیفی ثبت‌شده به وسیله طیفسنچی آزمایشگاهی براساس عملکرد آشکارگرها دو سنجنده - یکی با قدرت تفکیک طیفی بالا و دیگری با قدرت تفکیک طیفی پایین - شبیه‌سازی شد. این شبیه‌سازی بدین منظور صورت گرفت تا امکان شناسایی و تفکیک سنگ‌ها براساس



شکل ۹. شبیه‌سازی پلی‌مورف‌های آلومینوسیلیکات بر روی سنجنده Hyperion



شکل ۱۰. شبیه‌سازی پلی‌مورف‌های آلومینوسیلیکات بر روی سنجنده Aster

#### ۴- نتایج

نتایج نشان از آن دارند که آلومینوسیلیکات دارای بازتاب طیفی تقریباً مشابهی در محدوده مادون قرمز کوتاه‌اند و باندهای جذبی تقریباً مشابهی در طول طیف الکترومغناطیس دارند. با توجه به آزمایش‌های صورت گرفته، این نتیجه به دست آمد که ترکیب شیمیایی این سه پلی‌مورف یکسان است؛ و این خود باعث به وجود آمدن باندهای جذبی تقریباً مشابهی در طیف بازتابی آنها می‌گردد. از محدود تفاوت‌های این سه پلی‌مورف در میزان بازتاب آنها، به علت ساختار فیزیکی است. هر یک از این پلی‌مورف‌ها در شرایط دما و فشار خاص خود به وجود آمده‌اند و در نتیجه دارای ساختار

بلوری مشخص و ویژه‌ای هستند. بر این اساس، نحوه تبلور و نوع ساختارهای بلوری در پلی‌مورف‌ها می‌تواند در میزان بازتاب آنها تأثیر نهد و این خود موجب شناسایی و تمایز پلی‌مورف‌ها خواهد شد.

از دیگر نتایج به دست آمده در این تحقیق، می‌توان به مقدار جذب این سه پلی‌مورف در محدوده باندهای جذبی‌شان اشاره کرد، که با توجه به جدول ۳ می‌تواند در شناسایی آنها مورد استفاده قرار گیرد. بر این اساس، مقدار جذب سیلیمانیت و آندالوزیت بیشتر از کیانیت است. همچنین در مقایسه دو پلی‌مورف سیلیمانیت و آندالوزیت، تنها در دو محدوده ۹۵۰ و ۱۴۰۸ نانومتر،

Carlos A.R., Anne F. W., 2003, **SAMS: Spectral Analysis and Management System**, Version 2.0, User's Manual, Center for Spatial Technologies and Remote Sensing Department of Land, Air, and Water Resources. University of California, Davis.

Clark, R.N., 1999, **Spectroscopy of Rocks and Minerals and Principles of Spectroscopy**, Manual of Remote Sensing, Volume 3, Remote Sensing for the Earth Sciences, (A.N. Rencz, ed.) John Wiley and Sons, New York, 3- 58.

Clark, R. N., Swayze, G. A., Wise, R., Livo, K. E., Hoefen, T. M., Kokaly, R. F., & Sutley, S.J., 2003, **Usgs Spectral Library**, Speclab.cr.usgs.gov.

Grove, C.I., Hook, S. J., & Paylor, E. D., 1992, **Laboratory Reflectance Spectra of 160 Minerals, 0.4 to 2.0 Micrometers**, JPL Publication, (Pasadena, California: Jet propulsion Laboratory), pages 92-2.

Hassanshahi, H., Rangzan, K. & Saki, A., 2010, **Application of Reflectance Spectroscopy (350-2500nm) in Rocks Classification and Analysis for Remote Sensing Studies. (Case study: Igneous and metamorphic rocks of Alvand region of Hamedan)**, 17th Geomatics symposium of Iran, 10 pages.

Hassanshahi, H., Rangzan, K. & Saki, A., 2010, **Spectral Analysis and Simulation of Rocks Using Field Spec®3, in Hamedan Region; a tool for Remote Sensing Study.** National Conference reviews gains of Earth Sciences researchers, Iran, page 102.

مقدار جذب آندالوزیت بیشتر است. این پدیده نیز به ساختار بلوری مشخص و ویژه هر یک از این پلیمورف‌ها مربوط می‌شود.

دیگر اینکه، در این مطالعه به بررسی و مقایسه الگوهای روابط طیفی پلیمورف‌های آلمینوسیلیکات Field Spec®3 منطقه همدان، با استفاده از دستگاه بهمنظور تفکیک این عوارض در داده‌های ماهواره‌ای، پرداخته شد. با تفسیر نمودارهای طیفی پلیمورف‌ها و الگوهای جذب در ناحیه طول موج مادون قرمز کوتاه و ارتباط دادن باندهای جذب به ساختار و ترکیبات سنگ، نمودار طیفی آنها با هم مقایسه شدند و با شبیه‌سازی داده‌ها براساس دو سنجنده فراتیفی و چندطیفی، قابلیت آن دو مورد بررسی و مقایسه قرار گرفتند. نتایج حاکی از حفظ الگوهای جذب به خاطر باندهای باریک و حفظ الگوی نهایی طیفی در سنجنده‌های با قدرت طیفی بالا - Hyperion - است، که قطعاً توان آشکارسازی و شناسایی پلیمورف‌ها را به وسیله تشخیص محل دقیق طول موج‌ها فراهم می‌سازد. در مقابل، سنجنده Aster به خاطر باندهای عریض - و در نتیجه قدرت تفکیک طیفی بسیار کم در مقایسه با نوع قبلی - شکل باندهای جذب را به درستی حفظ نکرد و الگوهای جذب در طیف نهایی محو شدند. به هر حال محدودیت اصلی در استفاده از تصاویر Aster، بارزسازی محدود گروههای کلی سنگ است و تمایز جزئیات به وسیله تشخیص محل دقیق طول موج‌ها و باندهای جذب‌شدنی نیست.

#### - منابع

Alavi, M., 2004, **Regional Stratigraphy of the Zagros Fold-thrust Belt of Iran and Its Pro Foreland Evolution**, American Journal of Science 3004, 1-20.

Baharifar, A., 2004, **Petrology of the Metamorphic Rocks from Hamadan Area**, Ph.D. thesis, Tarbiat Moallem University.

- Kruse, F.A., Raines, G.L. and Watson, K., 1985, **Analytical Techniques for Extracting Geologic Information from Multichannel Airborne Spectroradiometer and Airborne Imaging Spectrometer Data: in Proceedings**, International Symposium on Remote Sensing of Environment, Thematic Conference on Remote Sensing for Exploration Geology, 4th Thematic Conference, Environmental Research Institute of Michigan, Ann Arbor, 309-324.
- Longhi, I., Sgavetti, M., Chiari, R. & Mazzaoli, C., 2001, **Spectral Analysis and Classification of Metamorphic Rocks from Laboratory Reflectance Spectra in the 0.4-2.5  $\mu\text{m}$  interval: a tool for hyperspectral data interpretation**, INT. J. REMOTE SENSING, VOL.22, NO.18, Taylor & Francis Ltd, 3763-3782.
- Mohajjal, M., Fergusson, C.L., Sahandi, M.R., 2003, **Cretaceous-Tertiary Convergence and Continental Collision, Sanandaj-Sirjan Zone, Western Iran**, Journal of Asian Earth Science., 21, 397-412.
- Painter, H.T., Molotch, P.N., Cassidy, M., Flanner, M., Steffen, K., 2007, **Instruments and Methods, Contact Spectroscopy for Determination of Stratigraphy of Snow Optical Grain Size**. Journal of glaciology, Vol. 53, No.180, 121-127
- Sadeghian, M., 1994, **Study of Igneous and Metamorphic Petrology from Cheshmeh Ghasaban Area, Hamadan**, M.Sc. thesis, Tehran University.
- Salvi, S., Mazzarini,F., & Doumaz, F., 2001, **Spectral Reflectance Measurements of Geological Materials in Northern Victoria Land**, Antarctica, AIT Informa, Rivista Italiana di Telerilevamento, No. 23, 45-54.
- Sepahi, A. A., 1999, **Petrology of the Alvand Complex with Respect to Granitoids**, Ph.D. thesis, Tarbiat Moallem University.
- Sepahi, A. A., Whitney, D. L. & Baharifar, A. A., 2004, **Petrogenesis of And-Ky-Sil Veins and Host Rocks, Sanandaj-Sirjan Metamorphic Belt, Hamadan, Iran**, Journal of Metamorphic Geology 22(2), 119-134.
- Spear, F.S., 1993, **Metamorphic Phase Equilibria and Pressure-Temperature-Time Paths**, Monograph 1. Mineralogical Society of America: Washington, DC, p. 799.